

PAPER DETAILS

TITLE: YENIDEN ÇÖZELTİYE ALMA PARAMETRELERİNİN 7075 ALÜMINYUM ALAŞIMLARININ
SERTLİK VE ASINMA DAVRANISLARINA ETKİSİ

AUTHORS: Ramazan YILMAZ,Dursun ÖZYÜREK,Erkan KIBAR

PAGES: 0-0

ORIGINAL PDF URL: <https://dergipark.org.tr/tr/download/article-file/75871>

YENİDEN ÇÖZELTİYE ALMA PARAMETRELERİNİN 7075 ALÜMİNYUM ALAŞIMLARININ SERTLİK VE AŞINMA DAVRANIŞLARINA ETKİSİ

Ramazan YILMAZ^a, Dursun ÖZYÜREK^b, Erkan KİBAR^c

^aSakarya Üniversitesi, Teknoloji Fakültesi, Metalurji ve Malzeme Mühendisliği Bölümü Esentepe Kampüsü,
54187, SAKARYA,

^bKarabük Üniversitesi, Teknoloji Fakültesi, İmalat Mühendisliği Bölümü, 78050, KARABÜK,

^cSakarya Üniversitesi, Fen Bilimleri Enstitüsü, Metal Eğitimi Anabilim Dalı Esentepe Kampüsü, 54187,
SAKARYA,

ryilmaz@sakarya.edu.tr, dozyurek@karabuk.edu.tr, erkan_kibaroglu@hotmail.com

(Geliş/Received: 22.06.2011; Kabul/Accepted: 14.10.2011)

ÖZET

Bu çalışmada 7075 alüminyum alaşımlarında yeniden çözeltiye alma ve yeniden yaşlandırma (RRA) ısıl işlemleri çalışıldı. Halihazırda T6 yaşlandırma işlemi uygulanmış alüminyum alaşımıları 180–260°C sıcaklık aralığında 15-75 dakika sürelerde yeniden çözeltiye alınmış ve daha sonra 120°C’ de 24 saat süre bekletme şartlarında (T6) yeniden yaşlandırılmıştır. RRA ısıl işleminde yeniden çözeltiye alma süresi ve sıcaklıklarını değiştirilerek bu parametrelerin 7075 alüminyum alaşımının sertliklerine ve aşınma davranışlarına etkileri incelenmiştir. Aşınma deneylerinde pin-on-disk yöntemi uygulanan cihaz kullanılmıştır. Aşınma mekanizmalarının daha iyi anlaşılması için aşınan yüzeyler tarama elektron mikroskopu (SEM) ile incelenmiştir. Gerçekleştirilen çalışma sonunda yeniden çözeltiye alma sıcaklığı ve süresi aşının sertliğini ve aşınma direncini etkilediği görülmüştür. Aşınma direnci ile sertlik değerleri arasında sıkı ilişki bulunmakta ve sertlik değerleri sıcaklığa ve süreye bağlı olarak değişmektedir. En yüksek sertlik ve aşınma direncini 220°C’ de 60 dakika yeniden çözeltiye alınarak RRA işlemi uygulanan aşım göstermiştir.

Anahtar Kelimeler: Alüminyum, yaşlandırma, 7075, aşınma, sertlik, yeniden çözeltiye alma ve yeniden sertleştirme (RRA).

THE EFFECTS OF RETROGRESSION PARAMETERS ON HARDNESS AND WEAR BEHAVIOURS OF 7075 ALUMINIUM ALLOYS

ABSTRACT

In this study, retrogression and re-aging (RRA) treatments on 7075 aluminium alloys has been carried out. 7075 aluminium alloys that were already T6 temper applied were retrogressed at the range of 180-260°C for durations between 15-75 minutes and later re-aged in T6 aging condition of 120°C for 24 hours. The effects of retrogression temperature and times on the hardness and wear properties were investigated. Wear tests were carried out by using machine that is for pin on disc technique. Worn surfaces of the samples after tests were also examined by scanning electron microscopy (SEM) for better understanding of wear mechanism. Experimental studies show that retrogression treatments parameters such as temperatures and times have great effects on wear resistance of 7075 aluminium alloys. Close relationship between the hardness and wear resistance values were seen in those alloys. Variations in hardness values were all depend on retrogression temperatures and times. The alloy retrogressed at 220°C for 60 minutes showed the highest hardness values and wear resistance.

Keywords: Aluminium, aging, 7075, wear, hardness, retrogression and re-aging (RRA)

1. GİRİŞ (INTRODUCTION)

Alüminyum ve alaşımaları diğer malzemelere göre düşük yoğunluk, iyi korozyon direnci, işlenebilme, elektrik iletimi gibi birçok mükemmel özelliklere sahip olduğundan uçak ve otomotiv endüstrisinde yaygın kullanım alanı bulmaktadır. Uçak ve otomotiv endüstrisinde yüksek dayanıma sahip hafif metallerin kullanılması gerekmektedir [1-3]. 7xxx serisi alüminyum alaşımaları % 4-8 Zn ve % 1-3 Mg içermekte ve diğer alüminyum alaşımalarına oranla daha yüksek sertlik ve dayanıma sahip olduğundan uçak, uzay ve otomotiv sektörü için ideal malzemelerdir [2-7]. Bu elementlerden çinko ve magnezyum alüminyum içerisinde yüksek oranda çözünebildiğinden çokelti mukavemetinin artırılması sağlanmaktadır. Bu alaşımalarla ilave edilen bakır ise dayanım değerlerinin bir miktar daha artırılmasını sağlamaktadır. Uçakların imalatında hem çok dayanıklı hem de hafif olan yüksek performanslı malzemelerin kullanılması gerekmektedir. Bu malzemeler çalışma şartlarında karşılaşılan farklı yükler sonucu yorulma, ortam şartlarının etkisi ile korozyon, güç sistemlerindeki ani sıcaklık değişimleri ile termal şoka maruz kalmaktadır [5-7]. Yorulma çatlaklarının oluşması ve ilerlemesi uçak tasarımda en önemli hususlardan biridir. Örneğin birden fazla yorulma çatlaklarının oluşması ve ilerlemesi ile meydana gelen çoklu kırılmalar sonucu 29 Nisan 1988'de Aloha Airlines'in Boeing 737 uçağının uçuşu esnasında gövdeden üst bölümünün büyük bir kısmı uçaktan ayrılmıştır [5,6].

Metaller sahip oldukları mikroyapı ve mekanik özellikleri, uygulanan farklı ısıl işlemlerin uygulanması ile artırılmaktadır. Alüminyum alaşımalarının sertlik ve dayanımları yaşlandırma işlemi ile artırılabilmektedir [8]. 7xxx serisi alüminyum alaşımaları katı çözeltiye alma işlemini ardından su verme ve yaşlandırma sonrası oluşan çokelme sonucu dayanımları artırmaktadır [2]. 7xxx serisi alüminyum alaşımalarında T6 ısıl işlemi ile yüksek sertlik ve dayanım sağlanmaktadır. 7075 alüminyum alaşımında T6 ısıl işlemi 121°C'de 24 saat yaşandırılması ile gerçekleştirilmektedir [9-11]. Bu işlem sonucunda korozyona karşı duyarlı bir durum ortaya çıktıından, bu tür alaşımların korozyon dirençlerinin artırılması için T73 ısıl işlemi geliştirilmiştir. Bu ısıl işlem ile alaşımın korozyon direncinde büyük miktarda artış sağlanırken, alaşımın dayanımında ise % 10-15 oranında bir azalma olmaktadır [6,9,12]. Alüminyum alaşımının dayanım ve korozyon özelliklerinin optimum değerlere ulaşmasının sağlanması amacıyla ilk olarak 1974 yılında Cina tarafından, yeniden çözeltiye alma ve yeniden yaşlandırma (RRA) ısıl işlemi önerilmiştir [9]. Ticari olarak kullanılan uçakların % 65'inde ana yapıda alüminyum alaşımının kullanılması nedeniyle, RRA ısıl işlemi önemli olup, özellikle 7150 ve 7075 türü alüminyum alaşımaları RRA işlemi için geliştirilmiştir [9,10-12]. RRA işlemi yeniden çözeltiye alma ve yeniden

yaşlandırma olmak üzere iki kademelidir. Öncelikle 480°C civarında yüksek sıcaklıklarda çözeltiye alındıktan sonra T6 ısıl işlemi uygulanmaktadır. T6 ısıl işlemi ile alaşım RRA işleminin birinci aşamasından nispeten daha yüksek sıcaklıklarda (200-280°C) kısa süreli çözeltiye alınmaktadır. Bu işlemin hemen sonrasında yeniden T6 ısıl işlemi uygulanmaktadır ve RRA ısıl işlemi tamamlanmaktadır [9,10-12]. RRA işleminin bütün aşamalarında kullanılan parametreler malzemenin mikroyapı ve mekanik özelliklerini etkilemektedir. Aşınma, malzemelerin önemli mekanik özelliklerden biridir ve makine elemanlarının beraber çalışması sonucu oluşan yüzey hatasıdır. Çeşitli endüstriyel sektörlerde karşılaşılan önemli problemlerden biridir. Oluşturulan sistemlerin verimliliğinin azalmasına neden olmaktadır. Endüstrinin birçok alanında uygulama alanı bulan alüminyum alaşımının aşınma davranışları ile ilgili birçok araştırma gerçekleştirılmıştır [13-21]. Aşınma esnasında uygulanan yük, hız ve çevre şartları aşınma direncine önemli etkileri olmaktadır [13-18]. Daha önceki çalışmalarında daha çok ince kesitli parçalara RRA işlemi uygulanmış ve özellikleri incelenmiştir [19].

Bu çalışmada ise kalın kesitli 7075 alüminyum alaşımına çözeltiye alma ve T6 işlemini takiben 180-260°C sıcaklıklarında 15 ile 75 dakika sürelerde yeniden çözeltiye alınarak RRA işlemi uygulanmıştır. Yeniden çözeltiye alma sıcaklıklarını alaşımının aşınma davranışına etkileri sertlik değerleri ile beraber incelenmiştir. Elde edilen sonuçlar mevcut literatür ile mukayeseli olarak tartışılmıştır.

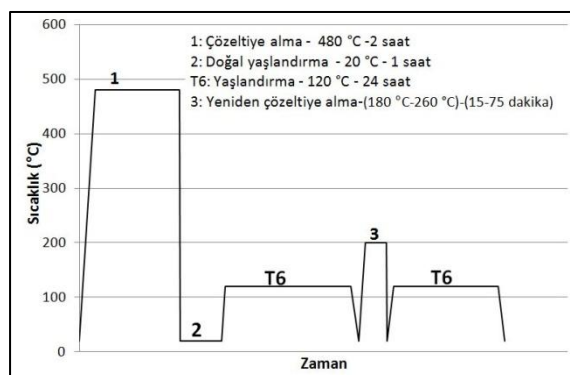
2. DENEYSEL ÇALIŞMALAR (EXPERIMENTAL STUDIES)

Çalışmalarda kullanılan 7075 alüminyum alaşımının kimyasal kompozisyonu Çizelge 1'de verilmiştir.

Aşınma deney numuneleri alüminyum 7075 çubuğundan 7 mm çapında ve 10 mm uzunluğunda hazırlanmıştır. Çalışmada alaşımın ilk T6 işlemi gördüğünden emin olmak için ısıl işlemlerin ilk aşamasından itibaren başlanmıştır. Uygulanan ısıl işlem çevriminin daha kolay anlaşılması için grafiksel olarak Şekil 1'de gösterilmiştir. 7075 alüminyum alaşımı öncelikle 480°C'da 2 saat çözeltiye alınmış sonra, suda soğutulduktan sonra 1 saat oda sıcaklığında doğal olarak yaşandırılmıştır. Alaşım daha sonra 120°C'da 24 saat (T6) ilk yaşlandırma işlemine tabi tutulmuştur. Bu işlemden sonra alaşım (180-260°C) sıcaklıklar arasında 15 ile 75 dakika sürelerde yeniden çözeltiye alınmış ve hemen sonrasında ikinci defa 120°C de 24 saat yeniden yaşlandırma işlemi uygulanarak RRA ısıl işlemi tamamlanmıştır.

Cizelge 1. Çalışmada kullanılan 7075 alüminyum合金ının kimyasal bileşimi (Chemical composition of 7075 aluminium alloys used in the study)

Elementler	Al	Si	Fe	Mn	Cu	Mg	Zn	Cr	Zr
Ortalama % Ağırlık	89,6	0,403	0,549	0,014	1,568	2,596	5,480	0,0125	0,0305



Şekil 1. Çalışmada kullanılan RRA ısıl işlem çevrim grafiği (Diagram of RRA heat treatment cycle used in the study microscopy)

Metalografik inceleme için numuneler SiC aşındırıcı zımparalarla zımparalanmış ve $0,3\mu$ elmas pasta ile parlatılmıştır. Parlatılan numuneler su ile yıkınır, yüzeylerine etil alkol püskürtülerek hızla kurutulması sağlanmıştır. Mikroyapıları açığa çıkarması için numuneler 2 ml HF, 3 ml HCl, 20 ml HNO_3 , 175 ml H_2O solüsyonuyla 1–2 dakika dağılanan numuneler NIKON LP 1200 ELİPSE mikroskop ile mikroyapıları görüntülenmiştir. Malzemelerin aşınma yüzeyleri "JEOL JSM-6060" tarama elektron mikroskopu (SEM) ile incelenmiştir.

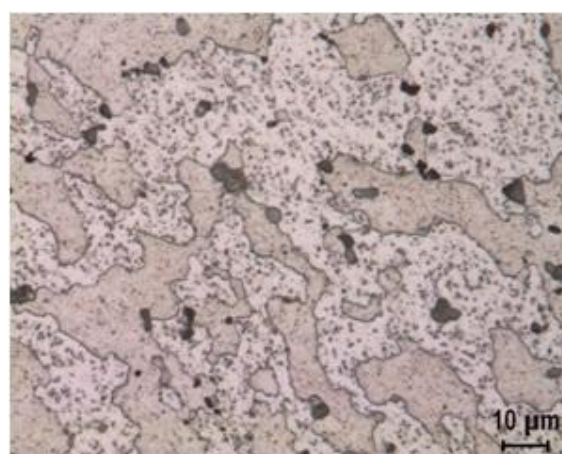
Sertlik değerlerinin ölçülmesinde Vickers sertlik metodu kullanılmıştır. Sertlik ölçümleri universal AFFRI marka RSD251 model cihazda 3kg yük uygulanarak yapılmıştır. Sertlik ölçümleri alınan numuneler 1200 # numara zımpara ile zımparalandırdıktan sonra beş farklı noktadan sertlik ölçümü alınır, ortalama sertlik değerleri tespit edilmiştir. Aşınma deneylerinde Pin-On-Disk tipi standart deney cihazı kullanılmıştır. Aşınma testlerinde kullanılan aşındırma diski 56 HRc sertliğine sahip Ç4140 malzemesidir. Aşınma deneylerine başlamadan önce her numune ve disk yüzeyi aseton ile temizlenmiştir. Her numune farklı bir iz oluşturacak şekilde yerleştirilerek her test için aynı yüzey kalitesi sağlanmıştır. Aşınma testlerinden sonra disk yeniden taşlanarak yeni test için hazır hale getirilmiştir. Aşınma testleri 15 ve 50N yükler altında, 2000 metre kayma mesafesi seçilmiştir. Kayma hızı olarak da $1,5 \text{ ms}^{-1}$ seçilmiştir. Numuneler deney öncesi ve sonrasında 10^4 g hassasiyetindeki dijital terazide tartılarak ağırlık kayıpları ölçülmüştür. Aşınma oranı, aşınan malzemenin hacminin aşınma deneyinde alınan yola bölünmesi ile hesaplanmıştır. Aşınan malzemenin hacmi ise aşınma sonrasında elde

edilen ağırlık kaybının, malzemenin yoğunluğuna bölünmesi ile elde edilmiştir.

3. SONUÇLAR VE TARTIŞMALAR (RESULTS AND DISCUSSIONS)

3.1 RRA İşleminde yeniden Çözeltiye Alma Süresi ve Sıcaklıklarının Mikroyapı ve Sertliğe etkisi (Effects of Times and Temperatures of Regrogetions in RRA on Microstructure and Hardness)

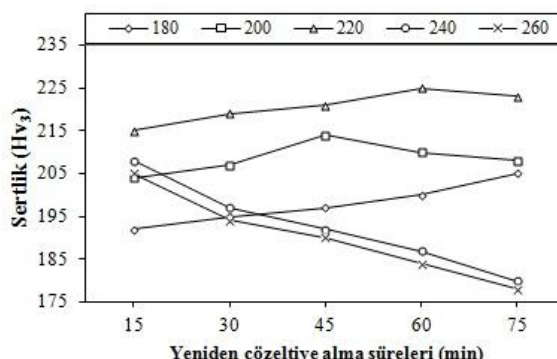
T6 ısıl işlemi uygulanan 7075 alüminyum合金larına 180–260°C'de arasındaki belirli sıcaklıklarda 15–75 dakika sürelerde yeniden çözeltiye alınarak sonrasında RRA ısıl işlemi uygulanmıştır. Isıl işlem sonrası mikroyapıda meydana gelen değişimler nanometre boyutlarında olduğundan oluşan farklar optik mikroskop ile belirlenmemektedir. Buna rağmen bu合金ların optik mikroyapısının görüntüsü ile ilgili genel bir fikir verilmesi amacıyla 220°C'de 60 dakika süre yeniden çözeltiye alınan ve yeniden sertleştirilen 7075 alüminyum合金ının optik mikroskop görüntüsü Şekil 2'de verilmiştir. Farklı sıcaklıklarda yeniden çözeltiye alınarak RRA ısıl işlemi uygulanan 7075 alüminyum合金larında optik ve düşük büyütümlerde gerçekleştirilen SEM mikroyapı görüntülerinde benzer yapılar görülmüştür [11,22–25].



Şekil 2. 220°C'de sıcaklığında 60 dakika yeniden çözeltiye alınan ve yeniden sertleştirilen 7075 alüminyum合金ının optik mikroskop görüntüsü (View of optical microscopy of 7075 aluminium alloy regressed at 220°C for 60 minutes and re-aged)

Farklı sıcaklık ve sürelerde yeniden çözeltiye alma ve yaşandırma işlemi uygulanan 7075 alüminyum合金larının öncelikle sertlik değerleri Şekil 3'de verilmiştir. Sertlik değerleri incelendiğinde 180–

220°C sıcaklıklar arasında gerçekleştirilen sertlik değerleri genel olarak yeniden çözeltiye alma süresine paralel olarak artmaktadır. Ancak, 240°C'de 45 dakika daha fazla sürede yeniden çözeltiye alınan 7075 alüminyum合金larının sertlik değerleri süre artışına bağlı olarak düşmektedir. 220°C'de 60 dakika daha fazla sürelerde yeniden çözeltiye alınan合金ların sertlik değerlerinde düşüş görülmüştür. Diğer taraftan 240°C ve 260°C'de yeniden çözeltiye alınan合金ların RRA işlemi sonrasında çözeltiye alma süresinin artışına paralel olarak sertlik değerlerinde sürekli düşme görülmektedir. En yüksek sertlik değeri 225 Hv ile 220°C'de 60 dakika yeniden çözeltiye alınan合金ların sahip olduğu görülmüştür. En düşük sertlik değeri ise 185 Hv ile 260°C'de 75 dakika yeniden çözeltiye alınan合金larda elde edilmiştir. Daha önceden yapılan çalışmalarında RRA işleminde yeniden çözeltiye alma sıcaklıklarını 220°C ve 240°C'ler civarındadır [11,25,26]. Daha yüksek ve uzun süreli yeniden çözeltiye alma sıcaklıklarında aşırı yaşılanma meydana geldiğini göstermektedir [11,27,28]. Önceden yapılan bir çalışmada T6 ısıl işlemi sonrasında 7075 alüminyum合金ının sertliği 183 Hv dir. Optimum şartlarda gerçekleştirilen RRA işlemi ile sertlik değerlerinde artma görülmüş ve 195 Hv olarak tespit edilmiştir [25]. Li vd [29] tarafından gerçekleştirilen çalışmada ise T6 ısıl işleminden sonra 7000 serisi合金ının mikrosertlik değeri 237 Hv dir.



Şekil 3. Farklı sıcaklık ve sürelerde yeniden çözeltiye alınan ve daha sonra 120°C'de 24 saat yeniden yaşılandırılan 7075 alüminyum合金ının sertlik değerlerin değişimi (Hardness values variations of 7075 aluminium alloys retrogressed at various retrogression times and temperatures and re-aged at 120°C for 24 hours)

Yüksek sıcaklıklarda yeniden çözeltiye alınan合金ların sertlik değerlerinde düşme görülmüştür. Yeniden çözeltiye alma sürelerine bağlı olarak sertlik değerlerinde farklılıklar olmaktadır. Yeniden çözeltiye alma süresi artışa bağlı olarak önceki sertlik değerlerinde düşme olmakta, daha sonra bir süre sabit kalmakta ve sürenin uzamasına bağlı olarak artış göstermeye belirli bir değere ulaştıktan sonra yeniden çözeltiye alma süresindeki artışa paralel olarak sürekli düşüş göstermektedir [29]. Bu yeniden çözeltiye alma sıcaklığı ve süresine bağlı olarak合金ının mikroyapısında bazı farklılıkların olduğunu göstermektedir.

göstermektedir.

Bu çalışmada 220°C'de 15 dakika ve daha yüksek sürelerde yeniden çözeltiye alınan ve RRA işlemi uygulanan合金ların 215 Hv değerlerinden daha yüksek sertlik değerleri elde edilmiştir. Dolayısıyla önceki çalışma ile karşılaştırıldığında daha yüksek değerlerin elde edildiği anlaşılmaktadır [11,25].

Yeniden çözeltiye alma aşamasında bekleme süresi artmasına bağlı olarak sertlik değerlerinin düşmesi, mikroyapı içerisindeki GP bölgeleri veya η' fazı gibi yarı uyumlu mikroyapı bileşenlerinin çözümnesi ile açıklanabilir. GP bölgeleri yarı dengelidir ve Zn, Mg ve Cu çözelti grubu ile uyumludur. η' fazı da yarı dengelidir ve $MgZn_2$ ya da daha doğrusu $Mg(ZnCuAl)_2$ şeklinde görülmektedir [12,30,31]. Bahsedilen faz yarı uyumludur. Tane içerisinde olduğu gibi tane sınırlarında da bulunmaktadır. η fazı ise dengeli olmayan faz olup, bağıdaşık değildir [30]. Bu aşamada elde edilen minimum sertlik değerleri, maksimum yeniden çözeltiye alma sürelerine karşılık gelmektedir [10,11,19,27,28]. 7050 ve 7075 alüminyum合金larında ana sertleştirici bileşenler GP bölgeleri ve η' fazı olup, bu fazların ana yapı içerisinde çözümneleri sertlik değerlerini düşürmektedir. Yeniden çözeltiye alma sıcaklıklarında bekleme sürelerindeki artış paralel olarak sertlik değerlerindeki artış, matris içerisindeki yeni oluşan η' fazının oluşması ve miktarlarının artırıma bağlı olarak sertlik değerlerinin artmasına neden olmaktadır. Yeniden yaşılandırma aşamasında oluşan η' miktarı maksimuma çıkmakta ve合金ının sertliğini artırıma katkıda bulunmaktadır. Sertlik maksimuma ulaşmasından sonra sıcaklık ve süreye bağlı olarak η' fazının aşırı kabalaşması ve η fazına dönüşmeye başlaması nedeniyle sertlik değerleri düşmektedir [11,19,28,30-36]. Yüksek yeniden çözeltiye alma sıcaklıklarda ise aşırı yaşılanma ile tane içi ve tane sınırlarındaki çökeltilerin kabalaşmasına bağlı olarak sertlik değerleri azalmaktadır [11,19,28,33,34].

3.2. RRA İşleminde yeniden Çözeltiye Alma Sıcaklık ve Sürelerinin Aşınma Davranışlarına Etkisi (Effects of Temperature and Times of Regrogetions in RRA on wear Behaviours)

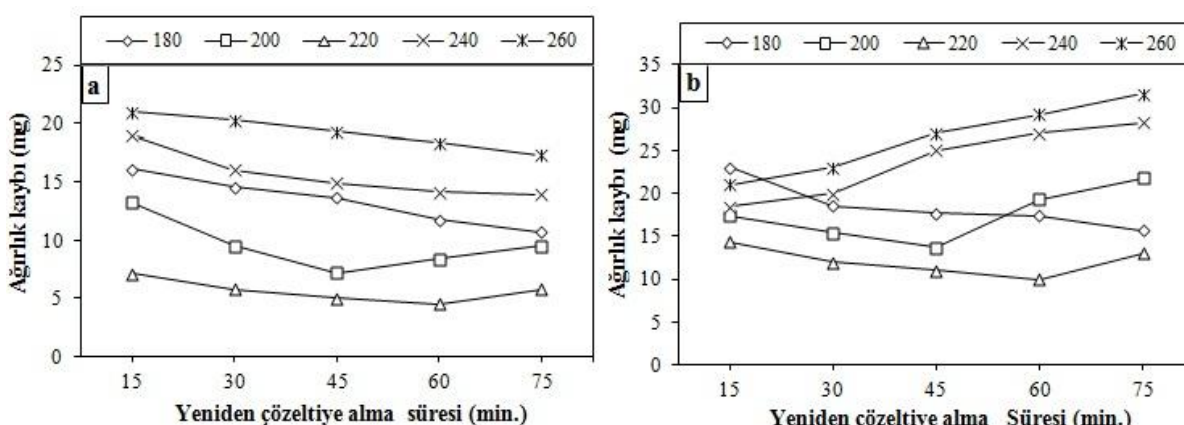
7075 alüminyum合金ının sertlik değerleri belirlendikten sonra aşınma davranışları araştırılmış ve farklı yükler altında gerçekleştirilen aşınma deneyleri sonrası malzemede meydana gelen ağırlık kaybı değişimleri Şekil 4'de verilmiştir. Şekil 4(a)'da görüldüğü gibi 15 N yük altında yapılan aşınma deneyleri sonucunda ağırlık kaybı genel olarak bütün yeniden çözeltiye alma sıcaklığındaki bekleme süresinin artışı ile azalmıştır. Çözeltiye alma sıcaklıklar ile aşınma kayıpları mukayese edildiğinde; aşınma kaybının en az olduğu değerden en çoka doğru 220°C<200°C<180°C<240°C<260°C şeklinde sıralanmaktadır. Farklı yeniden çözeltiye

alma sürelerinde malzeme aşırı yaşılanma devresine girmediği için sertlik ve dayanım değerlerinin artmaka ve buna bağlı olarak ağırlık kaybı miktarında da azalma gözlenmektedir. 240 ve 260°C sıcaklıklarında yeniden çözeltiye alma işlemeye tabi tutulan numunelerin aşınma deneylerinde ağırlık kaybı artmaktadır. 200°C'de yeniden çözeltiye alma işlemi uygulanan numunelerin ağırlık kaybı miktarı 45 dakika bekleme süresine kadar azalırken 45 dakikadan sonra ağırlık kaybı miktarı artmaktadır. Şekil 3'de verilen sertlik değerlerinde görüldüğü gibi 200°C 45 dakika yeniden çözeltiye alma süresinden sonra malzemenin aşırı yaşılanma periyoduna girerek sertlik ve dayanım değerleri azalmakta ve buna bağlı olarak ağırlık kaybı artmaktadır. En düşük ağırlık kaybı miktarının 220°C yeniden çözeltiye alma sıcaklığında bekletilen numunelerde elde edildiği görülmektedir. Bekleme süreleri dikkate alındığında 60 dakika bekletilen numunelerin aşınma testlerinde ağırlık kaybının azalığı 75 dakika bekletilen numunelerde ise ağırlık kaybının bir miktar arttığı görülmektedir. Bu değerlere göre 220°C'de 60 dakika bekleme süresinin yeniden çözeltiye alma işlemi için en optimum değer olduğu anlaşılmaktadır. 240°C'de yeniden çözeltiye alma ve yeniden yaşılandırma işleminden sonra uygulanan aşınma deneylerinde ise ağırlık kaybının bekleme süresine bağlı olarak azalığı görülmektedir. Şekil 2'de verilen sertlik ölçümlerinde ise tam tersi olarak, bekleme süresi arttıkça sertlik azalmaktadır. Bu durum numunelerin sertlikteki azalma sonucu temas yüzeyinde ısı etkisi ile sıvanma meydana gelmesi sonucu ağırlık kaybının azalması olarak yorumlanabilir. 260°C'de yeniden çözeltiye alınan numuneler incelendiğinde 240°C sıcaklığında karşılaşılan durumun aynen gerçekleştiği anlaşılmaktadır. Ağırlık kaybının 240°C'ye göre yüksek olması, yeniden çözeltiye alma sıcaklığı yüksek olması ve buna paralel olarak bekleme

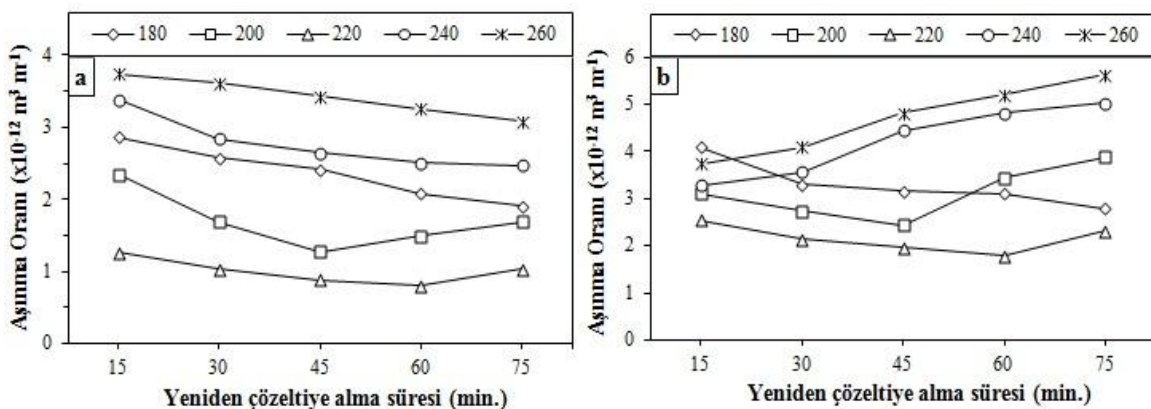
sürelerindeki artışın aşırı yaşılanmayı ve aşamayı hızlandırdığı, bu nedenle sertlik ve dayanımın düşük olmasına neden olduğu düşünülmektedir.

Şekil 4(b)'de 50 N aşınma yükü uygulanan alaşımının aşınma deneylerinde elde edilen ağırlık kayipları incelendiğinde, 15 N yük uygulanan numunelerde elde edilen sonuçların 180, 200 ve 220°C sıcaklıklar için benzerlik gösterdiği anlaşılmaktadır. 240 ve 260°C'de elde edilen ağırlık kayiplarının bekleme süresine bağlı olarak arttığı görülmektedir. Uygulanan farklı yükler altındaki aşınma deneylerinde en düşük ağırlık kaybının 220°C'de yeniden çözeltiye alma ve yeniden yaşılandırma uygulanan numunelerin sahip olduğu görülmektedir. Daha önceden 7075 alüminyum alaşımının aşınma davranışları üzerine yeniden çözeltiye alma sürelerine bağlı olarak aşınma hızı değerlerinde düşüş olduğu belirtilmektedir [11,13, 19,37]. Ancak, çok yüksek sıcaklıklarda yeniden çözeltiye alınan numunelerde bu değer daha düşük olmaktadır. Bu bakımdan elde edilen sonuçlar literatür ile uyumludur. Venkataraman [37]'in yaptığı çalışmada da yüze bağlı olarak aşınma oranlarında artış görülmüştür. RRA ısıl işlemi uygulanan 7075 alüminyum alaşımının aşınma testleri sırasında numune yüzeylerinde oksit bir film tabakası oluşmaktadır ve oluşan oksit filmi katı yağlayıcı etkisi göstererek aşınma miktarını azaltmaktadır. Bu durum diğer çalışmalarla da uyumludur [13-18,25,35, 38].

Aşınma direncinin daha net olarak belirlenmesi amacıyla aşınma deneylerinde elde edilen veriler kullanılarak aşınma oranı değerleri hesaplanmıştır. Elde edilen değerler Şekil 5'de verilmiştir. Ağırlık kaybı miktarları ile aşınma oranları arasında yakın ilişki olduğundan sonuçlar arasında paralellik bulunmaktadır.



Şekil 4. Farklı sıcaklık ve sürelerde yeniden çözeltiye alınan ve yeniden yaşılandıran 7075 alüminyum alaşımının a) 15N, b) 50N yük altındaki aşınma deneyindeki ağırlık kaybı değişimi (Wear lose variation of 7075 aluminium alloys retrogressed at various retrogression temperatures and times and re-aged under loads of a) 15N, b) 50N)



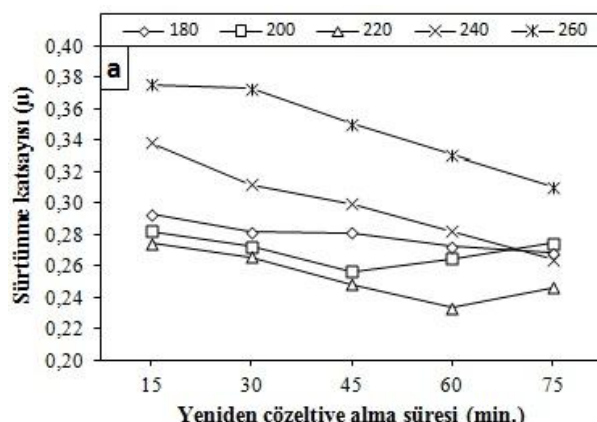
Şekil 5. Farklı sıcaklık ve sürelerde yeniden çözeltiye alınan ve yeniden yaşlandırılan 7075 alüminyum合金ının a) 15N, b) 50N yük altındaki aşınma deneyindeki aşınma oranı değişimi (Wear rate variation of 7075 aluminium alloys retrogressed at various regression temperatures and times and re-aged under loads of a) 15N, b) 50N)

Aşınma deneyi sırasında elde edilen sürtünme katsayısı değerleri Şekil 6'da verilmiştir. 2000 metre kayma mesafesinde 15 N yük altında aşınma deneyleri esnasında sürtünme katsayısı değerlenen 260°C yeniden çözeltiye alma sıcaklığında ıslı işlem uygulanan合金ının tüm bekleme sürelerinde sürtünme katsayısının en yüksek değerlerde olduğu görülmektedir. Yeniden çözeltiye alma süreleri arttırıldığında 15 N yük altında sürtünme katsayısının azaldığı görülmektedir.

Aşınma esnasında numuneden ayrılan parçaların aşındırılan合金ının yüzeyine yapışması ve sıcaklığın etkisi ile oksitlenmeye ve yağlayıcı etkisi olan oksit bir film tabakasının yüzeyde oluşması sonucu sürtünme katsayısını azalttığı düşünülmektedir. Aynı durumun 240°C yeniden çözeltiye alma sıcaklığında meydana geldiği görülmektedir. 240°C'de yeniden çözeltiye alınan numunelerin sürtünme katsayıları değerlerinin 260°C yeniden çözeltiye alınan numunelerden düşük olmasının nedeni sertliğinin daha yüksek olması ve aşınmaya karşı gösterdiği direncin fazla olmasından kaynaklanmaktadır. 180°C'de yeniden çözeltiye alınan numunelerin sürtünme katsayıları incelendiğinde bekleme süresindeki artışla azaldığı görülmektedir. Bunun nedeninin bekleme sürelerinden artması ile yapıda oluşan çökelti miktarının artması ve yaşlandırma işlemi sonrasında sertliğin artmasıdır. Numunelerin belirlenen süreler içerisinde aşırı yaşılanma periyoduna girmemesi ve buna bağlı olarak da sürtünme katsayılarının, bekleme süreleri arttırıldığında azaldığı görülmektedir. 200°C yeniden çözeltiye alınan合金ların 45 dakika bekleme süresine kadar sürtünme katsayısının azaldığı 45 dakikadan sonra ise arttığı görülmektedir. Sürtünme katsayısının artması合金ının sertliğinin azalması sonucunda aşınmaya karşı direncin azaldığını ve buna bağlı olarak aşınma miktarının arttığını göstermektedir. 220°C yeniden çözeltiye alınan numunelerin, en düşük sürtünme katsayıları değerlerine sahip olduğu görülmektedir. 220°C yeniden çözeltiye

alma sıcaklığında 60 dakika bekletildikten sonra yeniden yaşlandırılan合金ların aşınma esnasında sürtünme katsayısının azalmakta, 75 dakika yeniden çözeltiye alınarak RRA işlemi uygulanan合金ının ise sürtünme katsayısı artmaktadır.

50 N yük altındaki aşınma deneylerinde elde edilen sürtünme katsayıları değerleri incelendiğinde 260°C'de yeniden çözeltiye alınan numunelerin sürtünme katsayılarının bekleme süresinin artışına paralel olarak artışı görülmektedir. Sertliğin bekleme süresindeki artışı ile sürtünme katsayısının artışı buna bağlı olarak görülmektedir. 15 N yük altındaki aşınma deneylerinde karşılaşılan durumun olmadığı görülmektedir. Uygulanan yükün artması ile numunelerin aşınmaya karşı gösterdiği direnç azalmaktır ve yüzeyde oluşan oksit film tabakalarının da kırılarak sürtünme katsayısını ve aşınma miktarını artttığı düşünülmektedir. 240°C'de farklı sürelerde yeniden çözeltiye alınan numunelerin sürtünme katsayıları 260°C'de yeniden çözeltiye alınarak RRA işlemi uygulanan合金ların sürtünme katsayıları ile karşılaştırıldığında daha düşük olduğu, bekleme süresinin artması ile sürtünme katsayısının artlığı görülmektedir. 180°C'de yeniden çözeltiye alınarak RRA işlemi uygulanan合金ının sürtünme katsayısı incelendiğinde 50 N yük altındaki sürtünme katsayısının bekleme süresi arttıktan sonra artlığı diğer yüklerdeki gibi azaldığı görülmektedir. 200°C'de yeniden çözeltiye alınarak RRA işlemi uygulanan合金ının 50 N yük altındaki sürtünme katsayıları incelendiğinde diğer yükler altında karşılaşılan aşınma mekanizmalarının aynı meydana gelmektedir. Yeniden çözeltiye alma sıcaklığında bekleme süresi 45 dakikaya kadar olan numunelerin sürtünme katsayısının azaldığı, bekleme süresindeki artışı beraber sürtünme katsayısının da artlığı görülmektedir. 220°C'de farklı sürelerde yeniden çözeltiye alınarak RRA işlemi uygulanan合金ının 50 N yük altındaki sürtünme katsayısı合金ının sertliğinin artışına paralel olarak sürtünme katsayısının azaldığı görülmektedir. 60 dakikaya



Şekil 6. Farklı sıcaklık ve sürelerde yeniden çözeltiye alınan ve yeniden yaşandırılan 7075 alüminyum合金ının a) 15N, b) 50N yük altındaki aşınma deneyindeki sürtünme katsayısının değişimi. (Friction coefficients values variation of 7075 aluminium alloys retrogressed at various retrogression temperatures and times and re-aged under loads of a) 15N, b) 50N)

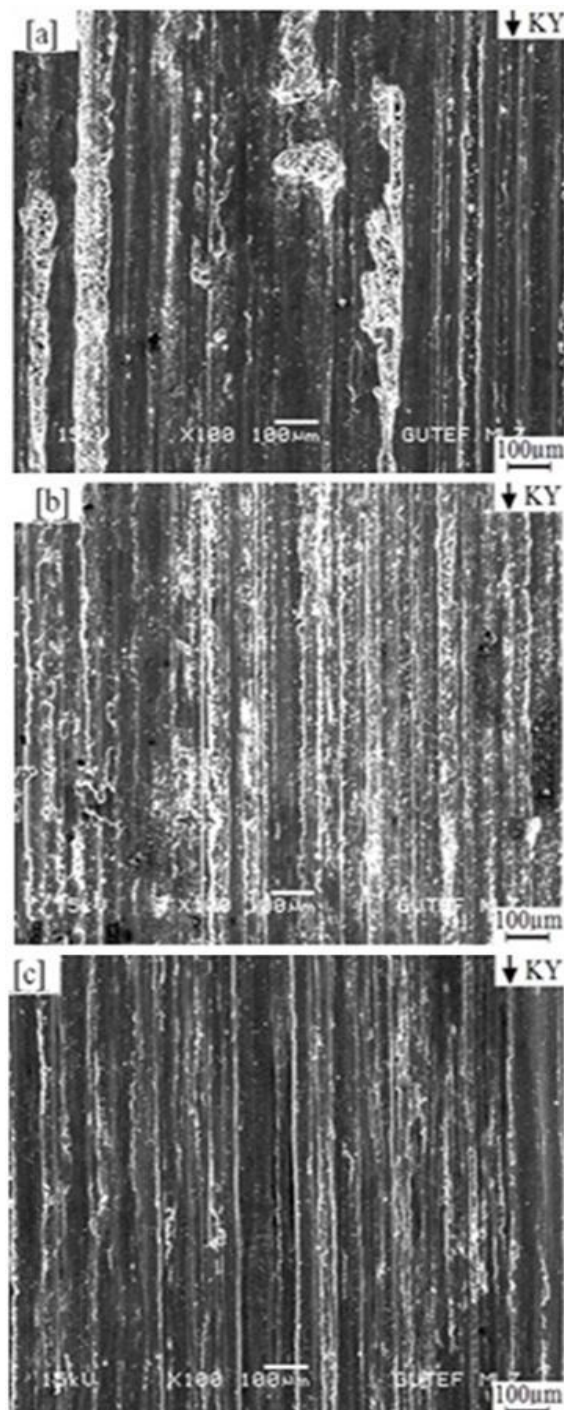
kadar olanbekleme süresinde alaşımının sertliğinin artışına paralel olarak sürtünme katsayısı değerinin azaldığı ancak, 75 dakika yeniden çözeltiye alma süresinde ise arttığı görülmektedir. 50 N yük altında yüzeyden kopmalar meydana gelmesi aşınma katsayısının artmasına neden olmaktadır. Bu çalışmada yapılan aşınma deneylerinde 0,2-0,4 arasında sürtünme katsayısı değerleri bulunmuştur. Yaşıandırılan numunenin içerisinde η' faz miktarı arttıktan malzemenin sertlik değerleri artmaktadır ve aşınma deneylerinde daha düşük sürtünme katsayıları elde edildiği ve yüksek sıcaklıklarda yapılan yeniden çözeltiye alma işlemlerinde malzemenin aşırı yaşılanma sonucu iri taneli η kararlı fazı oranının artarak sertlik değerlerini düşürdüğü düşünülmektedir. Aşınma deneyi esnasında aşınma çiftinin temas yüzeyinde artan sıcaklığı bağlı olarak oksit tabakası oluşmaktadır. Oluşan oksit filmi aşınma çifti arasında katı yağlayıcı etkisi yaparak uygulanan yük miktarının artışına bağlı olarak sürtünme katsayıları değerlerini azaltmaktadır [13,37]. Şimdiki çalışmada RRA ısıl işlemi sonucunda sertlik değerleri arttıktan ve içerisinde sert ve aşırı yaşılanmış fazlar bir arada olduğundan aşınma esnasında mekanizmalar farklılaşmaktadır.

3.3. Aşınan Yüzeylerin SEM Mikroyapı İncelemeleri (SEM Microstructure Examinations of worn surfaces)

50N yük altında aşınma deneyi yapılmış numunelerin aşınmış yüzeylerinin SEM görüntüleri Şekil 7'de verilmiştir.

Şekil 7(a)'da 200°C'de yeniden çözeltiye alma sıcaklığı ve 60 dakika bekleme süresi ve daha sonra yeniden yaşandırılan alaşımın aşınma yüzeylerin SEM görüntüsü incelendiğinde yüzeyde meydana

gelen yırtılma ve kopmaların daha da arttığı görülmektedir.



Şekil 7. a) 200°C, b) 220°C, c) 260°C sıcaklıklarda ve 60 dakika sürede yeniden çözeltiye alınan ve yeniden yaşandırılan 7075 alüminyum合金ının aşınma yüzeyinden alınan SEM görüntüleri. (KY: Kayma yönü) (SEM images of worn surfaces of 7075 aluminium alloys RRA heat treated and retrogressed at a) 200°C, b) 220°C, c) 260°C for 60 minutes and re-aged (KY: Sliding direction))

Bunun muhtemel nedeni sürtünen yüzeyde yorulma olmasından kaynaklandığı düşünülmektedir. Ayrıca, aşınan yüzeydeki aşınma izlerinin genişliği plastik

deformasyon miktarının fazla olması sonucu aşınma yüzeylerinde derin aşınma izleri görülmektedir. Şekil 7(b)'de 220°C'de yeniden çözeltiye alma sıcaklığında 60 dakika bekleme süresi ve daha sonra yeniden yaşlandırılan alaşımın aşınma yüzeyinin SEM görüntüsü incelendiğinde aşınma izlerinin çok ince olduğu ve aşınma yüzeyinde çok küçük kırılmaların meydana geldiği anlaşılmaktadır. Aşınma yüzeyinde ince kırıkların meydana gelmesi malzemenin aşınan parçaların sertliğinin yüksek olduğunu gösterdiği düşünülmektedir. Aşınan yüzeydeki ince kırılma ve yapışmalar aşınma esnasında alaşımın aşınmaya karşı direncin yüksek olduğunu bir göstergesi olduğu düşünülmektedir. Şekil 7(c)'de 260°C sıcaklığında 60 dakika yeniden çözeltiye alınarak RRA işlemi gören 7075 alüminyum alaşımının aşınma deneyi sonrasında yüzeyin SEM görüntüsü incelendiğinde yüzeyde kırılmaların daha az olduğu derin aşınma yolları meydana geldiği görülmektedir. Kırılmaların az olması malzemenin sertliğinin düşük olması nedeniyle devamlı plastik deformasyona maruz kalarak aşınmanın sürdürdüğü anlaşılmaktadır.

Yeniden çözeltiye alma sıcaklık ve süreleri incelendiğinde aşınma direnci en yüksek numunelerin 220°C yeniden çözeltiye alma sıcaklığında 60 dakika bekleme süresinden sonra yeniden yaşlandırılan numunelerin olduğu belirlenmiştir. En düşük aşınma direncinin ise 260°C'de yeniden çözeltiye alma ve 75 dakika bekleme süresinden sonra yeniden yaşlandırılan numunelerde olduğu belirlenmiştir.

4. SONUÇLAR (CONCLUSIONS)

Bu çalışmada 7075 alüminyum alaşımılarına farklı sıcaklık ve sürelerde yeniden çözeltiye alarak RRA işlemi uygulanmıştır. Optimum özelliklerini veren sıcaklık ve sürelerin belirlenmesi amaçlanmıştır. Çalışmada yeniden çözeltiye alma parametrelerinin 7075 alüminyum alaşımının mikroyapı ve sertlik ve aşınma davranışları gibi özelliklere etkileri araştırılmıştır. Yapılan deneyel çalışmalarдан aşağıdaki sonuçlar bulunmuştur.

- 1) Yeniden çözeltiye alma sıcaklığı arttıkça sertlik değerleri artmaktadır, 220°C sıcaklığında yeniden çözeltiye alınarak RRA işlemi uygulanan alaşım genel olarak yüksek sertlik değerlerine sahiptir. 220°C'den daha yüksek sıcaklıklarda yeniden çözeltiye alınarak RRA işlemi uygulanan alaşımın sahip olduğu sertlik değerlerinde azalma olduğu görülmektedir.
- 2) Alaşımın sertlik değerleri yeniden çözeltiye alma sıcaklıklarında (180-220°C) bekleme sürelerine bağlı olarak belirli bir süreye kadar artmaktadır daha sonra düşüş göstermektedir. 240 ve 260°C'de yeniden çözeltiye alma sıcaklıklarında süredeki artışa paralel olarak sertlik değerlerinde düşme görülmektedir. En yüksek sertlik değeri 220°C'de 60 dakika sürede

yeniden çözeltiye alınarak RRA işlemi uygulanan alaşımarda elde edilmiştir.

- 3) Aşınma deneylerinde aşınma kaybı ve aşınma oranları, uygulanan yüze ve mesafeye bağlı olarak artmaktadır. En yüksek aşınma kaybı ve aşınma oranı 260°C'de yeniden çözeltiye alınarak RRA işlemi uygulanan alaşım sahip olurken, en düşük aşınma kaybı ve oranı ise 220°C'de yeniden çözeltiye alınarak RRA işlemi uygulanan alaşımarda elde edilmiştir.
- 4) Yeniden çözeltiye alma sürelerindeki değişim aşınma deneylerinde elde edilen sürtünme katsayısı değerlerini de etkilemektedir. Aşınma deneyi esnasında sürtünme katsayısı değerleri 0,2-0,4 arasında değişmektedir. En düşük sürtünme katsayısı değeri 220°C'de 60 dakika sürede yeniden çözeltiye alınarak RRA işlemi uygulanan alaşımın aşınması esnasında, en yüksek sürtünme katsayısı değeri 260°C'de 75 dakika sürede yeniden çözeltiye alınarak RRA işlemi uygulanan alaşımın aşınması esnasında elde edilmiştir.

5. TEŞEKKÜR (ACKNOWLEDGEMENTS)

SEM mikroyapı çalışmalarında sağladığı imkânlardan dolayı Prof. Dr. Süleyman TEKELİ'ye ve Alper AYTAÇ'a teşekkür ederiz.

6. KAYNAKLAR (REFERENCES)

1. Miller, W.S., Zhuang, L., Bottema, J., Wittebrood, A.J., Smet, P. De, Harsler, A., Vieregge, A., "Recent Development in Aluminium Alloys for the Automotive Industry", *Mater. Sci. Eng. A* 280, 37-49, 2000.
2. Smith, W.E., *Mühendislik Alaşımlarının Yapı ve Özellikleri*, Demir Dışı Alaşımlar, Cilt 2, çeviri M. Erdoğan, Nobel Dağıtım, 2001.
3. Yurdakul, M., Özbay, O., İç, Y. T., "Selection of Aerospace Aluminium Alloys", *Journal of the Faculty of Engineering Architecture of Gazi University*, Vol. 17, No 2, 1-23, 2002.
4. Wu, Y.L., Froes F.H., Alvarez A., Li CG., Liu J., Microstructure and Properties of a New Super-High-Strength Al-Zn-Mg-Cu alloy C912, *Mater. Design*, 18, 211-215. 1997.
5. Heinz, A., Haszler, A., Keidel, C., Moldenhauer, S., Benedictus, R., Miller, W. S., "Recent Development in Aluminium Alloys for Aerospace Applications", *Mater. Sci. Eng. A - Structural Materials Properties*, 280, 102-107, 2000.
6. Ferrer, C.P., "Optimizing the Strength and SCC Resistance of Aluminium Alloys Used for Refurbishing Aging Aircraft", *U.S.N.A Trident Scholar project report*, 2001.
7. Rendigs K. H. "Aluminium Structures Used in Aerospace-Status and Prospects", *J. Mater. Sci. Forum*, 242: 11-24, 1997.

8. **ASM Handbook**, Heat Treating, ASM International Materials Park, Ohio, vol. 4, 1990.
9. Cina, B.M., Reducing the Susceptibility of alloys, alloys Particularly Aluminium to Stress Corrosion Cracking, **U.S. Patent, No: 3, 856, 584**, Dec. 24, 1974.
10. Ay, N., **7075 Alüminyum Alaşımında RRA Isıl İşleminin Mikroyapıya Etkisi ve Kinetik Analiz**, İstanbul Teknik Üniversitesi, Fen Bilimleri Enstitüsü, Doktora Tezi, İstanbul, 1989.
11. Baydoğan, M., **Retrograsyon ve Yeniden Yaşılandırma Uygulanmış 2014 ve 7075 Kalite Alüminyum Alaşımının Mekanik ve Korozyon Özelliklerinin İncelenmesi**, İstanbul Teknik Üniversitesi, Fen Bilimleri Enstitüsü, Doktora Tezi, İstanbul, 2003.
12. Parker, J.K., Ardell, A.J., "Effect of Retrogression and Reaging Treatments on the Microstructure of Al-7075-T651". **Mater. Trans. A**, 15, 1531–1543. 1984.
13. Kibar, E., Yılmaz, R., Özyürek, D., "Wear Properties of 7075 Aluminium Alloys Produced By Powder Metallurgy", **5. International Powder Metallurgy**, Ankara-Turkey, 69-76, 08–12 October 2008.
14. Deuis, R.L., Subramanian, C., Yellup, J.M., "Dry Sliding Wear of Aluminium Composites-A Review", **Comp. Sci. Tech.** 57, 415-435, 1997.
15. Vencl, A., Bobic, I., Mikovic, Z., "Effect of Thixocasting and Heat Treatment on the Tribological Properties of Hypoeutectic Al-Si alloy", **Wear**, 264, 616–623, 2008.
16. Chen, R., Iwabuchi A., Shimuzu T., "The Effect of a T6 Heat Treatment on the Fretting Wear of a SiC Particle-Reinforced A356 Aluminum Alloy Matrix Composite", **Wear**, 238, 110–119, 2000.
17. Sudarshan, Surappa M.K., "Dry Sliding Wear of Fly Ash Particle Reinforced A356 Al Composites", **Wear**, 205, 249-360, 2008.
18. How, H.C., Baker, T.N., "Dry Sliding Wear Behaviour of Saffil- Reinforced AA6061 composites", **Wear**, 210, 263–272, 1997.
19. Baydogan, M., Cimenoglu, H., Kayali, E.S., "A Study on Sliding Wear of a 7075 Aluminum Alloy", **Wear**, 257, 852–861, 2004.
20. Ceschini, L., Bosi, C., Casagrande, A., Garagnani, G.L., "Effect of Thermal Treatment and Recycling on the Tribological Behaviour of an AlSiMg-SiC_p Composite", **Wear**, 251, 1377–1388, 2001.
21. Mindivan H., Kayalı, E.S., Cimenoglu, H., "Tribological Behavior of Squeeze Cast Aluminum Matrix Composites", **Wear**, 265, 645–654, 2008.
22. Kibar, E., **7075 Alüminyum Alaşımına Uygulanan RRA Isıl İşlemlerinin Mikroyapı ve Mekanik Özelliklerine Etkisi**, Sakarya Üniversitesi, Fen Bilimleri Enstitüsü, Yüksek Lisans Tezi, Sakarya, 2010.
23. Yılmaz, R., Özyürek, D., Kibar, E., "Yeniden Çözeltiye Alma Sıcaklığının 7075 Alüminyum Alaşımının Aşınma Davranışına Etkisi", **15. Uluslararası Metalurji ve Malzeme Kongresi**, IMMC 2010, İstanbul-Turkey. 1935-1944, 11–13 Kasım 2010.
24. Özyürek, D., Yılmaz, R., Kibar, E., "The Effects of Retrogression Parameters in RRA Treatment on Tensile Strength of 7075 Aluminium Alloys", **Journal of the Faculty of Engineering Architecture of Gazi University**, Vol. 27, No 1, 193-203, 2012.
25. Baydoğan, M., Çimenoglu, H., Kayali, E.S., "RRA İşleminin 7075 Alaşımının Mekanik Özelliklerine Etkisi", **İTÜ Dergisi/d, Mühendislik**, Cilt: 3, Sayı: 6, 108-116, 2004.
26. Islam M.U., Wallace W., "Stress Corrosion Crack Growth Behaviour of 7475 T6 Retrogressed and Reaged Aluminium Alloy", **Metals Technology**, 11, 320-322., 1984.
27. Rajan, J.K., Wallace, W., Beddoes, J.C., "Microstructural Study of A High-Strength Stress-Corrosion Resistant 7075 Aluminum Alloy", **J. Mater. Sci.** 17, 10, 2817-2824, 1982.
28. Dahn, N.C., Rajan, K., and Wallace, W., "A TEM Study of Microstructural Changes During Retrogression and Reaging in 7075 Aluminum", **Mater. Trans. A**, 14, 9, 1843-1850., 1983.
29. Li, G. F., Zhang, X. M., Li, P. H., You J. H., "Effects of Retrogression Heating Rate on Microstructures and Mechanical Properties of Aluminum Alloy 7050", **Trans. Nonferrous Met. Soc. China**, 20, 735-941, 2010.
30. Reda, Y. Abdel-Karim, R., Elmahallawi, I., "Improvements in Mechanical and Stress Corrosion Cracking Properties in Al-Alloy 7075 via Retrogression and Reaging", **Mater. Sci. Eng. A** 485, 468–475, 2008.
31. Meng, C, Long H, Zheng Y. "Study of the Mechanism of Hardness Change of Al-Zn-Mg Alloy during Retrogression Reaging Treatments by Small Angle X-Ray scattering (SAXS)", **Mater. Trans. A**, 28: 2067–2071, 1997.
32. Buha J, Lumley RN, Crosky AG. "Secondary Ageing in an Aluminum Alloy 7050", **Mater. Sci. Eng. A** 492 1–10, 2008.
33. Marlaud T, Deschamps A, Bley F, Lefebvre W, Baroux B. "Evolution of Precipitate Microstructures During the Retrogression, Re-Aging Heat Treatment of an Al–Zn–Mg–Cu. Alloy", **Acta Mater.** 58, 4814–4826, 2010.
34. Viana F, Pinto AMP, Santos HMC, Lopes AB. "Retrogression, Re-Aging of 7075 Aluminum Alloy: Microstructural Characterization". **J. Mater. Process. Tech.** 92–93, 54–59, 1999.
35. Papazian, J.M., "Differential Scanning Calorimetry Evaluation of Retrogressed and Re-

- Aged Microstructures in Aluminum Alloy 7075”, **Mater. Sci. Eng. A** 79, 97–104, 1986.
36. Ning, A., Liu, Z., Peng, B., Zeng, S., “Redistribution and Re-Precipitation of solute Atom during Retrogression and Reaging of Al-Zn-Mg-Cu Alloys”, **Trans. Nonferrous Met. Soc. China**, 17, 1005-1011, 2007.
37. Venkataraman, B., Sundararajan, G., “Correlation between the Characteristics of the Mechanically Mixed layer and Wear Behaviour of Aluminium, Al-7075 Alloy and Al-MMCs”, **Wear**, 245 22–38, 2000.
38. Wang, J., Danninger, H., “Dry Sliding Behaviour of Molybdenum Alloyed Sintered Steels”, **Wear**, 222, 49-56, 1998.